

# 二阶时滞系统 PI 控制器稳定参数集快速算法

刘艳<sup>1,2</sup>, 李银仔<sup>2</sup>, 盛安冬<sup>2</sup>

(1. 盐城师范学院 物理系, 江苏 盐城 224002; 2. 南京理工大学 自动化系, 江苏 南京 210094)

[摘要] PID 控制是自动控制中应用最广泛的一种控制方法。针对工业控制过程中普遍存在的二阶时滞系统, 通过在  $k_p - k_i$  平面上绘制稳定边界线, 给出了快速计算 PI 控制器所有稳定参数集的方法, 并且给出了系统开环不稳定情形下稳定 PI 控制器的存在必要性条件。通过在该稳定参数区域上进行性能指标寻优, 可以得到满意控制器设计性能指标要求的 PI 控制器参数区域。仿真实例表明了该方法的优越性, 为控制系统的控制器设计提供了一个简单高效的设计方法。

[关键词] 时滞系统, 稳定性, PI 控制

[中图分类号] TP273, [文献标识码] B, [文章编号] 1672-1292(2004)04-0005-04

在生产过程的自动控制发展历程中, PID 控制是最具生命力的基本控制方式。直到现在, PID 控制由于其自身的优点, 如结构简单、容易实现、控制精度高等, 在实践过程中积累了丰富的整定经验, 广泛应用于工业控制过程中。工业控制过程本身由于机理复杂、时变、时滞、非线性及耦合等原因, 其精确的数学模型很难得到, 一些高阶对象用一阶加纯滞后模型来描述是不精确的, 一般用二阶惯性环节加纯延迟来近似<sup>[1]</sup>。对这类对象的 PI 和 PID 控制, 许多学者进行了广泛研究。Ho 基于增益裕量和相角裕量指标, 推导了一阶和二阶时滞过程的 PID 控制器整定公式<sup>[2]</sup>。Shafiei 和 Shenton 应用频域方法, 通过在  $k_p - k_i$  平面上绘制基于一定增益裕量和相角裕量的曲线, 得出了满足频域指标的  $n$  阶时滞过程的 PID 参数区域<sup>[3]</sup>。Yongho 和 Jeongseok 将基于一阶和二阶时滞过程的内模控制进行拓展, 得出了 PID 控制器的解析公式<sup>[4]</sup>。Poulin 和 Pomerleau 基于分析过程的开环频率特性, 推导出了闭环系统满足最大峰值扰动指标的 PID 控制器参数<sup>[5]</sup>。最近, Yaniv 和 Nagurk 提出了在基于增益和灵敏度条件下, 得出了满足一定灵敏度指标的 PI 和 PID 控制器参数集<sup>[6, 7]</sup>。另外, 在给定系统为有理函数情况下, 许多学者在求取所有稳定的 P、PI、PID 控制器参数方面取得了突破性进展, 如 Ho M T<sup>[8, 9]</sup>。

本文针对工业过程中最常见的二阶时滞过程, 给出了快速计算 PI 控制器所有稳定参数集的方法。和前面所述方法相比, 本算法简单, 并且可以得

出所有稳定 PI 控制器参数集, 通过在可行区域上进行其他性能指标寻优, 可以求出满足相应指标集的 PI 控制器参数区域, 从而可以大大提高控制器的设计效率。

## 1 问题描述

本文研究对象的控制系统方框图如图 1 所示。

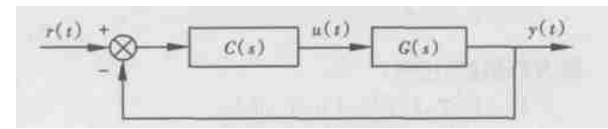


图 1 反馈控制系统方框图

其中,  $r(t)$  为系统输入,  $u(t)$  为控制信号,  $y(t)$  为系统输出,  $C(s)$  为具有(1)式的 PI 控制器:

$$C(s) = k_p + \frac{k_i}{s} = \frac{k_p s + k_i}{s} \quad (1)$$

式中,  $k_p$  为比例系数,  $k_i$  为积分系数,  $G(s)$  为二阶时滞过程, 根据二阶时滞过程开环不稳定极点数, 将其划分为以下两种情形:

(i) 没有不稳定极点:

$$G(s) = \frac{k}{(T_1 s + 1)(T_2 s + 1)} e^{-Ls} \quad (2)$$

(ii) 仅有一个不稳定极点:

$$G(s) = \frac{k}{(T_1 s - 1)(T_2 s + 1)} e^{-Ls} \quad (3)$$

其中,  $k$  为系统静态增益,  $L$  为系统时滞常数,  $T_1$ 、 $T_2$  为系统时间常数, 且  $L > 0$ ,  $k > 0$ ,  $T_1 > 0$ ,  $T_2 > 0$ 。

本文的任务就是针对二阶时滞过程的两种不同情

收稿日期: 2004-06-05。

基金项目: 国防科工委“十五”预研兵器支撑基金资助项目(BZJ04026)。

作者简介: 刘艳(1976-), 女, 硕士, 助教, 主要从事时滞系统稳定与控制、PID 控制的稳定性和过程控制等方面的研究与研究。

E-mail: liuyan\_z@sina.com

通讯联系人: 盛安冬(1964-), 博士, 教授, 博士生导师, 主要从事火力控制、满滤波等方面的教学与研究工作。E-mail: shengandong@263.net

形, 研究在不同情形下 PI 控制器的存在必要性条件, 并推导求取所有稳定的 PI 控制器参数集.

## 2 稳定区域算法

### 2.1 没有不稳定极点情形

对形如式(2)描述的二阶时滞过程  $G(s)$ , 在 PI 控制情形下, 闭环控制系统的特征多项式为:

$$\delta(s) = T_1 T_2 s^3 + (T_1 + T_2) s^2 + s + k e^{-Ls} (k_p s + k_i) \quad (4)$$

令  $s = j\omega$ ,  $\omega \in (0, +\infty)$ , 代入(4)式可得:

$$\delta(j\omega) = -jT_1 T_2 \omega^3 - (T_1 + T_2) \omega^2 + j\omega + k e^{-j\omega L} (j k_p \omega + k_i) \quad (5)$$

注意到  $e^{-j\omega L} = \cos(\omega L) - j \sin(\omega L)$ , 则式(5)化为:

$$\delta(j\omega) = [k k_p \omega \sin(\omega L) + k k_i \cos(\omega L) - (T_1 + T_2) \omega^2] + j[k k_p \omega \cos(\omega L) - k k_i \sin(\omega L) - (T_1 T_2 \omega^2 - 1)] \quad (6)$$

令  $\delta(j\omega) = 0$ , 可得:

$$\begin{aligned} k k_p \omega \sin(\omega L) + k k_i \cos(\omega L) &= (T_1 + T_2) \omega^2 / k \\ k k_p \omega \cos(\omega L) - k k_i \sin(\omega L) &= (T_1 T_2 \omega^2 - 1) / k \end{aligned} \quad (7)$$

解方程组(7)可得:

$$\begin{aligned} k_p &= [(T_1 T_2 \omega^2 - 1) \cos(\omega L) + (T_1 + T_2) \omega \sin(\omega L)] / k \\ k_i &= [- (T_1 T_2 \omega^2 - 1) \sin(\omega L) + (T_1 + T_2) \omega^2 \cos(\omega L)] / k \end{aligned} \quad (8)$$

根据式(8), 就可以在  $k_p - k_i$  平面上绘出稳定边界线  $l(k_p, k_i, \omega)$ . 稳定边界线将  $k_p - k_i$  平面分割成稳定区域和不稳定区域. 在所有分割的区域中, 每个区域分别选取一个测试点  $(k_p, k_i)$ , 则可确定是否为稳定区域.

### 2.2 仅有一个不稳定极点情形

对形如式(3)描述的二阶时滞过程  $G(s)$ , 在 PI 控制情形下, 闭环控制系统的特征多项式为:

$$\delta(s) = T_1 T_2 s^3 + (T_1 - T_2) s^2 + s + k e^{-Ls} (k_p s + k_i) \quad (9)$$

$$\begin{aligned} \lim_{\omega \rightarrow 0^+} \frac{dk_i}{dk_p} &= \\ \lim_{\omega \rightarrow 0^+} \frac{-[(3T_1 T_2 \omega^2 + 1) \sin(\omega L) + (T_1 T_2 \omega^3 + \omega) L \cos(\omega L) + (T_1 - T_2)(2\omega \cos(\omega L) - \omega^2 L \sin(\omega L))]}{2T_1 T_2 \omega \cos(\omega L) - (T_1 T_2 \omega^2 + 1)L \sin(\omega L) + (T_1 - T_2)\sin(\omega L) + (T_1 - T_2)\omega L \cos(\omega L)} &= \\ \frac{2(T_1 - T_2) - 2L}{2T_1 T_2 + 2L(T_1 - T_2) - L^2} \end{aligned} \quad (13)$$

由式(13)可知, (12)成立则必须满足:  $2(T_1 - T_2) - 2L > 0$  且  $2T_1 T_2 + 2L(T_1 - T_2) - L^2 > 0$ .

令  $s = j\omega$ ,  $\omega \in (0, +\infty)$ , 代入式(9)并令其实部和虚部均为零, 可得:

$$\begin{aligned} k k_p \omega \sin(\omega L) + k k_i \cos(\omega L) &= (T_1 - T_2) \omega^2 / k \\ k k_p \omega \cos(\omega L) - k k_i \sin(\omega L) &= (T_1 T_2 \omega^3 + \omega) / k \end{aligned} \quad (10)$$

解方程组(10)可得:

$$\begin{aligned} k_p &= [(T_1 T_2 \omega^2 + 1) \cos(\omega L) + (T_1 - T_2) \omega \sin(\omega L)] / k \\ k_i &= [- (T_1 T_2 \omega^2 + 1) \sin(\omega L) + (T_1 - T_2) \omega^2 \cos(\omega L)] / k \end{aligned} \quad (11)$$

根据式(11)在  $k_p - k_i$  平面上绘出稳定边界线, 同样可以确定 PI 控制器的稳定参数区域.

### 3 稳定 PI 控制器存在必要性条件

当二阶时滞过程存在开环不稳定极点时, 稳定的 PI 控制器的存在是有条件的. 这里给出稳定的 PI 控制器的存在必要性条件.

**定理 1** 对式(3)描述的二阶不稳定时滞过程, 存在 PI 控制器使该系统稳定的必要性条件是  $L < T_1 - T_2$ .

**证明** 根据式(11), 当  $k = 1$ , 对不同的  $L$  ( $L_1 < L_2 < L_3$ ),  $T_1, T_2$  值, 在  $k_p - k_i$  平面上的所有稳定区域大致如图 2 所示.

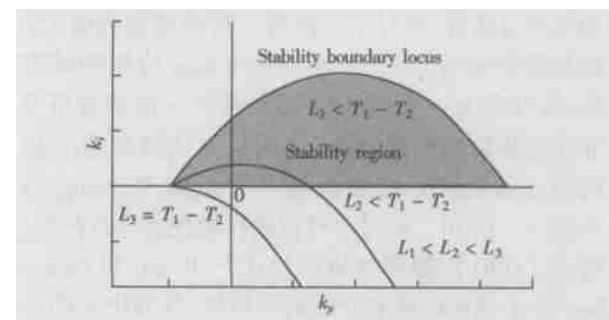


图 2 不同参数值对应的稳定边界线

结合图 2, 若稳定的 PI 控制器存在, 则系统稳定的必要条件为:

$$\lim_{\omega \rightarrow 0^+} \frac{dk_i}{dk_p} > 0 \quad (12)$$

而  $2(T_1 - T_2) - 2L > 0$  则  $2T_1T_2 + 2L(T_1 - T_2) - L^2 > 0$  必然成立. 由  $L < T_1 - T_2$  可推出:

$$L^2 < L(T_1 - T_2) < 2T_1T_2 + 2L(T_1 - T_2) \quad (14)$$

故只要  $L < T_1 - T_2$  成立, 则一定存在稳定的 PI 控制器使该系统稳定. 证毕.

## 4 数值算例

例 考虑二阶开环稳定时滞过程

$$G(s) = \frac{2e^{-0.3s}}{(3s+1)(s+1)} \quad (15)$$

由式(15)可知,  $L = 0.3$ ,  $T_1 = 3$ ,  $T_2 = 1$ , 满足定理 2, 则稳定 PID 控制器存在. 由式(8)得

$$\begin{aligned} k_p &= (1.5\omega^2 - 0.5)\cos(0.3\omega) + 2\omega\sin(0.3\omega) \\ k_i &= -(1.5\omega^2 - 0.5)\omega\sin(0.3\omega) + 2\omega^2\cos(0.3\omega) \end{aligned} \quad (16)$$

根据 3.1 节 PI 控制器稳定参数集算法, 可得如图 3 所示的 PI 控制器稳定区域.

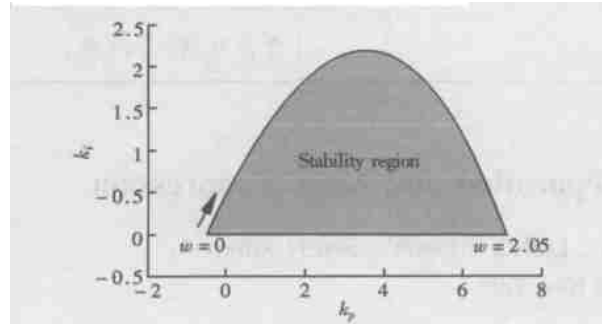


图 3 PI 控制器稳定区域

满意控制<sup>[10]</sup>认为, 工程实际对控制系统设计要求不是某单一性能指标达到最优, 而是必须同时满足由多种性能指标所构成的控制性能期望指标集. 根据工程对控制器设计的实际要求, 可以选择相应的性能指标, 如动态误差系数、调节时间、上升时间、衰减比、超调量等时域性能指标, 幅值裕度、相角裕度等开环频域性能指标, 以及系统灵敏度和鲁棒性能指标, 在所求 PID 控制器参数区域内选择同时满足所期望的性能指标参数, 就可以使被控系统达到所期望的性能要求. 本例的期望指标为:

- (1) 系统稳定;
- (2) 系统调节时间  $< 5$  s;
- (3) 系统超调量  $< 5\%$ .

在本例所求得的稳定区域上进行时域性能指标寻优, 当  $k_p = 0.90$ ,  $k_i = 0.20$ , 具有最小调节时间 3.87 s; 有部分区域存在超调量为零的情形. 综合考虑起来可以取  $k_p = 0.65$ ,  $k_i = 0.20$ , 此时调节时间 4.71 s, 超调量 3.76%. 当  $k_p = 0.65$ ,  $k_i = 0.20$  时,

系统的阶跃响应如图 4 所示.

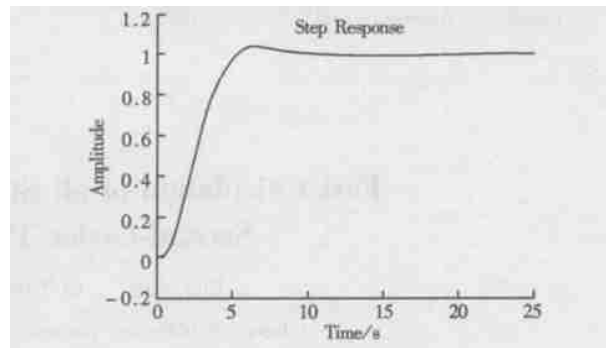


图 4 闭环系统阶跃响应曲线

## 5 结束语

本文通过在  $k_p - k_i$  平面上绘制 PI 控制器的稳定边界线, 很容易得出 PI 控制器的所有稳定参数区域. 该快速算法非常简单, 适用绝大多数工业控制系统, 为工业控制系统的控制器设计提供了一种简单高效的设计方法. 进一步研究可以将该方法推广到 PID 控制, 在得出 PID 控制器稳定区域的基础上, 进行多目标满意 PID 控制器设计, 以及研究 PID 控制器各指标间的相容性, 将是我们进一步要研究解决的问题.

### [参考文献]

- [1] Eric P, Andre D. Development and evaluation of autotuning and adaptive PID controller [J]. Automatica, 1996, 32(1): 71 - 82.
- [2] Ho W K, Xu W. PID tuning for unstable processes based on gain and phase margin specifications [J]. IEE Proc Control Theory and Application, 1998, 145(5): 392 - 396.
- [3] Shafiee Z, Sherton A T. Frequency domain design of PID controllers for stable and unstable systems with time delay [J]. Automatica, 1997, 33(12): 2223 - 2232.
- [4] Lee Y, Lee J, Park S. PID controller tuning for integrating and unstable processes with time delay [J]. Chemical Engineering Science, 2000, 55(1): 3481 - 3493.
- [5] Poulin E, Pomerlean H. PID tuning for integrating and unstable processes [J]. IEE Proc Control Theory and Application, 1996, 143(5): 429 - 435.
- [6] Yaniv O, Nagurk M. Robust PI controller design satisfying gain and phase margin constraints [J]. IEEE Transaction on Automatic Control, 2003, 48(11): 2069 - 2072.
- [7] Yaniv O, Nagurk M. Design of PID controllers satisfying gain margin and sensitivity constraints on a set of plants [J]. Automatica, 2004, 40(1): 111 - 116.
- [8] Ho M T, Datta A, Bhattacharyya S P. A linear programming characterization of all stabilizing PID controllers [A]. Proceedings of the American Control Conference [C]. 1997. 3922 - 3928.

- [ 9] Ho M T. Synthesis of  $H_{\infty}$  PID controllers: A parametric approach[ J]. Automatica, 2003, 39: 1069 - 1075.
- [ 10] Guo Zhi. A survey of satisfying control and estimation[ A]. Proceedings of the 14th IFAC World Congress[ C]. 1999. 443 - 447.

## Fast Calculation of all Stabilizing PI Controllers for Second-Order Time-Delay Systems

LIU Yan<sup>1,2</sup>, LI Yinya<sup>2</sup>, SHENG Andong<sup>2</sup>

(1. Department of Physics, Yancheng Teachers College, Yancheng 224002, China;

2. Department of Automation, Nanjing University of Science and Technology, Nanjing 210094, China)

**Abstract:** PID control is the most common control method used in automatic control. Aiming at the second-order time-delay systems of industrial process control, a method for the fast calculation of all stable PI controllers via plotting stability boundary locus in  $k_p - k_i$  is presented. Moreover, the necessary conditions are proposed for the existence of a PI controller to simultaneously stabilize the second-order time-delay systems that are open-loop unstable. Furthermore, the set of PI controllers satisfied with the performance specifications requirements of a controller design is easily to work out via searching on the stabilizing region. An example is given to show the effectiveness of the method presented and the paper provides a simple and effective method for controllers design.

**Key words:** time-delay system, stabilization, PI control

[责任编辑: 严海琳]

(上接第4页)

## Technique of Conducted EMI Noise Separation and Noise Suppression

ZHAO Yang<sup>1,2</sup>, LI Shijin<sup>1</sup>, MENG Zhaojuan<sup>1</sup>, LONG Yunyun<sup>1</sup>, SHEN Xuemei<sup>1</sup>, CHEN Hao<sup>2</sup>, SEE Kye Yak<sup>3</sup>

(1. School of Electrical and Electronic Engineering, Nanjing Normal University, Nanjing 210042, China;

2. School of Information and Electrical Engineering, China University of Mining and Technology, Xuzhou 221008, China;

3. School of Electrical and Electronic Engineering, Nanyang Technological University, Singapore 639798, Singapore)

**Abstract:** The exploration of the conducted EMI noise separation including hardware-based separation and software-based separation have been described and compared, with advantages and disadvantages discussed. The experimental results are given to show the efficiency of the separation networks. Moreover, computer-aided design for power-line filter and discussion on implementation of intelligent equipment of noise measurement and suppression are also introduced. Results show that the discrimination network based on splitter/combiner has better HF performance with low insertion loss and good rejection capability, however, it is more expensive.

**Key words:** conducted electromagnetic interference(EMI), noise separation, intellectual diagnosis, noise suppression, electromagnetic compatibility (EMC)

[责任编辑: 严海琳]